

d'après l'écartement maximum du doublet qui correspond au groupe $W(1)$, $r=1,58 \text{ \AA}$ pour la distance intramoléculaire, soit la même valeur que dans le gypse.

$$\begin{aligned}2\alpha &= 3\mu r^{-3} = 10,70 \text{ gauss} \pm 0,05, \\ \mu &= 1,407 \cdot 10^{-23} \text{ erg . gauss}^{-1}, \\ r &= 1,58 \text{ \AA} \pm 0,02.\end{aligned}$$

Comparison avec les résultats de l'absorption infra-rouge

Nous avons étudié par absorption infra-rouge des échantillons préparés à partir de solutions saturées de $\text{La}_2\text{Mg}_3(\text{NO}_3)_{12} \cdot 24\text{H}_2\text{O}$ et de $\text{La}_2\text{Mg}_3(\text{NO}_3)_{12} \cdot 24\text{D}_2\text{O}$ (Deleplanque, Kahane & Serra, 1966). Les maxima d'absorption notés sur le spectre réalisé vers -190°C se situent entre $3,620$ et $3,220 \text{ cm}^{-1}$, et montrent que les longueurs O-H...O des ponts hydrogène se situent entre $2,7$ et $3,0 \text{ \AA}$, ce qui est en accord avec les hypothèses faites par Zalkin, Forrester & Templeton.

Conclusion

La possibilité de placer les atomes d'hydrogène dans la maille d'un cristal par la diffraction des rayons X est souvent contestée, surtout dans des structures d'une certaine complexité.

Nous avons pu utiliser la résonance magnétique nucléaire pour tester la valeur du raffinement d'une structure de nitrate double hydraté d'après Zalkin, Forrester & Templeton. La RMN ne pouvait pas, dans un cas aussi complexe, permettre la détermination directe de la position des atomes d'hydrogène. On a pu montrer qu'en symétrie triclinique le nombre maximum de sites d'atomes d'hydrogène dont on peut obtenir la position à partir des spectres de RMN est de 6 (Touillaux, 1964). Ce nombre tombe à 1 en symétrie rhomboédrique. Or, dans la structure étudiée, le nombre de sites hydrogène est de 8.

Par contre, il était possible de vérifier ou d'infirmer l'orientation des molécules d'eau proposée par Zalkin, Forrester & Templeton. Aussi bien la RMN que l'ab-

sorption infra-rouge nous ont donné des résultats en accord avec la diffraction des rayons X, compte tenu de la marge d'erreur inhérente à cette technique pour la position des atomes d'hydrogène.

Du point de vue de la théorie de la liaison hydrogène, il apparaît donc que ce cristal présente un intérêt particulier lié à l'existence de plusieurs sortes de liaisons hydrogène: liaisons rectilignes, liaisons curvilignes et liaisons bifurquées donnant aux atomes d'hydrogène une coordination 3. Au fur et à mesure que les informations expérimentales s'accumulent, il se confirme que la liaison rectiligne considérée comme normale serait plutôt l'exception que la règle (Baur, 1965).

Nous avons pu, grâce à la RMN, apporter une précision concernant la distance des atomes d'hydrogène dans une même molécule d'eau. La structure déterminée par la diffraction des rayons X donnait la valeur $\Gamma=1,1 \pm 0,4 \text{ \AA}$. Nous avons obtenu $\Gamma=1,58 \pm 0,02 \text{ \AA}$. Ceci confirme que dans les hydrates, la molécule d'eau ne subit que de très légères déformations.

Nous remercions tout particulièrement Monsieur le Professeur Soutif, Directeur du Laboratoire de Physique Générale de la Faculté des Sciences de Grenoble, qui nous a donné les moyens de réaliser ce travail. L'un de nous (A. Serra) a obtenu un détachement temporaire pour travailler dans ce Laboratoire.

M. A. Kahane, Maître de Conférences, a pris en charge l'étude de l'absorption infra-rouge et son interprétation.

Références

- ATOJI, M. & RUNDLE, R. E. (1958). *J. Chem. Phys.* **29**, 1306.
- BAUR, W. H. (1965). *Acta Cryst.* **19**, 909.
- DELEPLANQUE, M., KAHANE, A. & SERRA, A. (1966). *C.R. Acad. Sci. Paris*, **262**, 52.
- PAKE, G. E. (1948). *J. Chem. Phys.* **16**, 327.
- PEDERSEN, B. & HOLCOMB, D. F. (1963). *J. Chem. Phys.* **38**, 61.
- TOUILLAUX, R. (1964). Thèse de doctorat, Univ. C. de Louvain.
- ZALKIN, A., FORRESTER, J. D. & TEMPLETON, D. H. (1963). *J. Chem. Phys.* **39**, 2881.

Acta Cryst. (1966). **21**, 681

The Crystal Structure of Strontium Permanganate Trihydrate

BY A. FERRARI, A. BRAIBANTI, G. BIGLIARDI AND A. M. MANOTTI LANFREDI
Istituto di Chimica Generale, Università di Parma, Italy

(Received 21 March 1966)

The crystals of strontium permanganate trihydrate, $\text{Sr}(\text{MnO}_4)_2 \cdot 3\text{H}_2\text{O}$, are cubic, space group $P2_13$, with $a=9.611 \pm 0.006 \text{ \AA}$. The structure has been solved by three-dimensional methods.

The structure consists of anions, MnO_4^- , cations Sr^{2+} , and water molecules. MnO_4^- groups have nearly tetrahedral symmetry ($\text{Mn}-\text{O}$, $1.605 \pm 0.014 \text{ \AA}$). The Sr^{2+} cations are surrounded by seven oxygen atoms belonging to MnO_4^- anions and by three water molecules. ($\text{Sr}-\text{O}_{\text{av}}$, 2.68 \AA). The resulting coordination polyhedron, apart from one more atom in front of a basal face, is similar to that in $\text{SrCl}_2 \cdot 6\text{H}_2\text{O}$ and in $\text{Sr}(\text{VO}_3)_2 \cdot 4\text{H}_2\text{O}$ in which ninefold coordination has been found.

Introduction

Strontium ion, Sr^{2+} , presents unusual coordination numbers. For example, in the structure of $\text{SrCl}_2 \cdot 6\text{H}_2\text{O}$

(Wells, 1962) and of $\text{Sr}(\text{VO}_3)_2 \cdot 4\text{H}_2\text{O}$ (Sedlacek & Dornberger-Schiff, 1965) the coordination number is nine. The crystal structure of strontium permanganate tri-

hydrate, $\text{Sr}(\text{MnO}_4)_2 \cdot 3\text{H}_2\text{O}$, has been determined, in order to make one more contribution to the knowledge of the crystal chemistry of strontium.

Experimental

Crystals of strontium permanganate trihydrate have been prepared by Ferrari & Biagini Cingi (1966) by mixing aqueous solutions of silver permanganate and strontium chloride; silver chloride was filtered off and the solution was evaporated in a desiccator. The dark violet crystals obtained are very hygroscopic.

Under the polarizing microscope no observation could be made because of the dark color of the crystals. One crystal was sealed into a glass capillary tube. For the determination of the crystal symmetry and of the unit-cell constants, Weissenberg and precession photographs were taken with the same setting of the crystal (rotation axis [001]; Cu $K\alpha$ radiation; $\lambda = 1.5418 \text{ \AA}$).

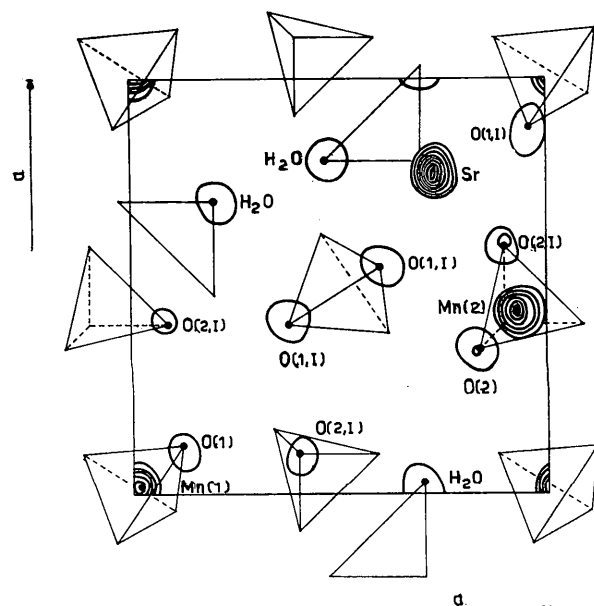


Fig. 1. Strontium permanganate trihydrate. Electron density function

$$\left| \rho_0(xyz) \right| \begin{cases} z = \frac{1}{2} \\ z = 0 \end{cases},$$

projected on (001). Tetrahedra indicate MnO_4^- groups; triangles indicate three water molecules crystallographically related by ternary axis.

From the symmetry of the photographs and from the systematic absences, the crystals can be assigned to the monometric space group $P2_13$ (no. 198, T^4). The unit-cell constant is $a = 9.611 \pm 0.006 \text{ \AA}$. Four formula units, $\text{Sr}(\text{MnO}_4)_2 \cdot 3\text{H}_2\text{O}$, are contained in the unit cell. The observed density, $D_m = 2.78 \text{ g.cm}^{-3}$ is in satisfactory agreement with the calculated density, $D_x = 2.84 \text{ g.cm}^{-3}$.

For the determination of the structure, reflexions $hk0$, $hk1$, $hk2$, $hk3$, $hk4$, $hk5$, $hk6$ and $hk7$ were taken, with Cu $K\alpha$ radiation, by the photographic method.

The intensities were measured by a microphotometer. Absorption corrections as for cylindrical specimens were applied (Bond, 1959) ($\mu R = 4.39$ for Cu radiation).

Determination of the structure

From the Patterson function $P(UVW)$, trial sets of vectors Sr-Sr, Sr-Mn(1) and Sr-Mn(2) were obtained. The set was chosen which gave the best reliability index ($R = 0.3$). As a further check of this choice, $\rho_0(xyz)$

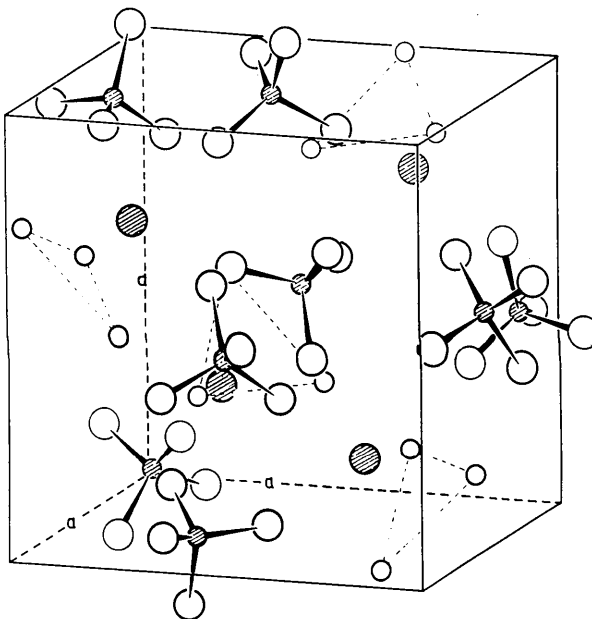


Fig. 2. Clinographic projection of the structure.

Table 1. Final atomic coordinates $\times 10^4$ (with e.s.d.'s)

<i>n</i>	Cryst. point	<i>x/a</i>	<i>y/a</i>	<i>z/a</i>	<i>B</i>	ρ_o	ρ_c	
Sr	4	(<i>a</i>)	2715(4)	2715(4)	2715(4)	2.4 \AA	88.2	92.5
Mn(1)	4	(<i>a</i>)	0138(7)	0138(7)	0138(7)	2.7	48.2	51.4
Mn(2)	4	(<i>a</i>)	5724(7)	5724(7)	5724(7)	2.7	50.0	51.3
O(1)	4	(<i>a</i>)	1113(33)	1113(33)	1113(33)	3.9	11.0	11.3
O(2)	4	(<i>a</i>)	6698(59)	6698(59)	6698(59)	4.4	9.2	9.8
O(1,I)	12	(<i>b</i>)	1174(36)	6027(40)	5371(42)	3.3	10.6	11.2
O(2,I)	12	(<i>b</i>)	0958(32)	8957(39)	5883(28)	3.9	11.6	12.4
H ₂ O	12	(<i>b</i>)	1922(34)	4654(37)	8053(43)	3.7	10.6	11.1

Table 2. Observed and calculated structure factors
Reflexions marked by an asterisk were not recorded.

\mathbf{h}	\mathbf{k}	\mathbf{l}	$\mathbf{10}\mathbf{I}_2$	$\mathbf{10}\mathbf{I}_3$	\mathbf{h}	\mathbf{k}	\mathbf{l}	$\mathbf{10}\mathbf{I}_2$	$\mathbf{10}\mathbf{I}_3$	\mathbf{h}	\mathbf{k}	\mathbf{l}	$\mathbf{10}\mathbf{I}_2$	$\mathbf{10}\mathbf{I}_3$	\mathbf{h}	\mathbf{k}	\mathbf{l}	$\mathbf{10}\mathbf{I}_2$	$\mathbf{10}\mathbf{I}_3$	\mathbf{h}	\mathbf{k}	\mathbf{l}	$\mathbf{10}\mathbf{I}_2$	$\mathbf{10}\mathbf{I}_3$			
2	c	426	463	1	c	677	516	—	5	1	218	262	4	2	622	1156	1	11	2	413	319	3	7	3	508	493	
4	c	545	650	2	4	183	120	—	6	1	500	232	2	2	145	140	2	11	2	156	93	4	7	3	513	475	
6	c	667	751	3	9	332	254	—	4	1	198	161	6	2	365	382	4	11	2	326	292	5	7	3	226	220	
8	c	233	229	4	9	224	197	—	10	5	1	172	195	7	2	355	376	4	11	2	136	137	6	7	3	181	179
10	c	198	178	5	9	376	304	11	4	1	143	142	8	2	410	431	5	11	2	100	136	7	7	3	235	175	
12	c	101	97	6	6	151	73	—	7	1	184	173	9	2	184	173	8	7	3	208	151	10	4	4	158	162	
14	c	—	—	7	9	233	190	—	8	9	—	10	2	2	87	78	9	7	3	83	73	11	4	4	—	135	
1	1	0	376	300	—	—	—	—	—	—	666	531	11	2	121	93	0	12	2	145	126	—	—	—	—	—	
2	1	0	544	695	—	—	—	—	—	—	180	223	18	2	67	76	1	12	2	189	179	—	—	—	—	37	
3	1	0	1054	1449	0	10	0	254	178	3	6	1	315	278	—	2	12	2	92	76	0	8	3	380	258		
4	1	0	712	820	1	10	0	453	312	4	6	1	515	576	0	3	2	311	234	1	8	3	361	247			
5	1	0	351	428	2	10	0	361	246	5	6	1	382	435	1	3	2	304	301	1	0	3	1250	1449			
6	1	0	442	531	3	10	0	—	—	6	6	1	296	352	2	3	2	581	665	2	0	3	261	519			
7	1	0	—	18	4	10	0	—	—	7	6	1	162	159	3	3	2	468	554	3	0	3	213	112			
8	1	0	544	633	5	10	0	233	179	8	6	1	120	131	4	3	2	149	199	4	0	3	189	176			
9	1	0	—	31	6	10	0	186	95	9	6	1	233	289	5	3	2	370	486	5	0	3	402	334			
10	1	0	244	214	7	10	0	214	211	10	6	1	119	79	6	3	2	370	459	6	0	3	184	211			
11	1	0	—	—	8	10	0	—	—	7	3	—	—	—	—	8	3	2	393	538	9	5	4	197	191		
12	1	0	249	301	—	—	—	—	—	9	9	—	—	—	—	8	3	243	538	10	5	4	136	143			
13	0	0	503	463	2	11	0	224	146	1	7	1	1084	954	10	3	2	189	812	1	9	3	343	200			
14	0	0	467	586	4	11	0	219	154	2	7	1	357	558	11	3	2	180	178	11	0	3	263	169			
15	0	0	188	234	5	11	0	264	258	4	7	1	428	378	—	—	—	—	190	3	9	3	314	235			
16	0	0	295	711	6	12	0	137	97	5	7	1	291	340	0	4	2	876	713	0	9	3	1187	1187			
17	0	0	346	605	c	12	0	—	—	6	7	1	357	327	1	4	2	388	400	0	1	3	1008	1186			
18	0	0	361	426	1	12	0	214	154	7	7	1	296	287	3	4	2	136	94	2	1	3	370	301			
19	0	0	269	303	2	12	0	181	107	9	7	1	109	53	4	4	2	353	262	3	9	3	206	153			
20	0	0	361	357	3	12	0	—	—	10	7	1	153	140	5	4	2	360	458	1	3	3	606	665			
21	0	0	290	264	4	12	0	—	—	11	7	1	248	303	5	4	2	368	303	2	9	3	133	262			
22	0	0	117	126	5	12	0	1	491	300	0	8	1	703	633	7	4	2	169	150	1	10	3	601	501		
23	0	0	—	—	6	12	0	1	501	580	1	8	1	219	110	9	4	2	389	314	0	9	3	346	322		
24	0	0	—	—	7	12	0	1	630	784	2	8	1	214	167	11	4	2	316	250	1	10	3	129	126		
25	0	0	—	—	8	12	0	1	630	776	3	8	1	214	167	11	4	2	316	250	1	10	3	129	126		
26	0	0	—	—	9	12	0	1	606	434	4	8	1	208	288	0	9	2	320	409	—	—	—	346	322		
27	0	0	—	—	10	12	0	1	597	578	5	9	1	238	184	9	5	2	320	409	—	—	—	346	322		
28	0	0	—	—	11	12	0	1	643	506	6	9	1	314	351	10	5	2	320	347	—	—	—	346	322		
29	0	0	—	—	12	12	0	1	310	312	7	9	1	122	122	12	4	2	320	316	—	—	—	346	322		
30	0	0	—	—	13	12	0	1	336	339	11	9	1	236	239	11	5	2	320	316	—	—	—	346	322		
31	0	0	—	—	14	12	0	1	162	194	12	9	1	—	—	31	6	2	253	253	0	10	3	346	322		
32	0	0	—	—	15	12	0	1	501	501	13	9	1	506	357	7	9	2	253	253	0	10	3	346	322		
33	0	0	—	—	16	12	0	1	406	434	14	9	1	238	184	16	5	2	253	253	0	10	3	346	322		
34	0	0	—	—	17	12	0	1	597	578	15	9	1	238	184	16	5	2	253	253	0	10	3	346	322		
35	0	0	—	—	18	12	0	1	606	434	16	9	1	238	184	16	5	2	253	253	0	10	3	346	322		
36	0	0	—	—	19	12	0	1	643	506	17	9	1	314	351	10	5	2	253	253	0	10	3	346	322		
37	0	0	—	—	20	12	0	1	310	312	18	9	1	122	122	18	4	2	253	253	0	10	3	346	322		
38	0	0	—	—	21	12	0	1	336	301	19	9	1	236	239	19	5	2	253	253	0	10	3	346	322		
39	0	0	—	—	22	12	0	1	162	194	20	9	1	248	245	20	6	2	253	253	0	10	3	346	322		
40	0	0	—	—	23	12	0	1	501	501	21	9	1	506	434	21	6	2	253	253	0	10	3	346	322		
41	0	0	—	—	24	12	0	1	406	434	22	9	1	238	184	22	5	2	253	253	0	10	3	346	322		
42	0	0	—	—	25	12	0	1	597	578	23	9	1	238	184	23	5	2	253	253	0	10	3	346	322		
43	0	0	—	—	26	12	0	1	606	434	24	9	1	238	184	24	5	2	253	253	0	10	3	346	322		
44	0	0	—	—	27	12	0	1	643	506	25	9	1	314	351	25	6	2	253	253	0	10	3	346	322		
45	0	0	—	—	28	12	0	1	310	312	26	9	1	122	122	26	6	2	253	253	0	10	3	346	322		
46	0	0	—	—	29	12	0	1	336	301	27	9	1	236	239	27	6	2	253	253	0	10	3	346	322		
47	0	0	—	—	30	12	0	1	162	194	28	9	1	248	245	28	6	2	253	253	0	10	3	346	322		
48	0	0	—	—	31	12	0	1	501	501	29	9	1	506	434	29	6	2	253	253	0	10	3	346	322		
49	0	0	—	—	32	12	0	1	406	434	30	9	1	238	184	30	6	2	253	253	0	10	3	346	322		
50	0	0	—	—	33	12	0	1	597	578	31	9	1	238	184	31	6	2	253	253	0	10	3	346	322		
51	0	0	—	—	34	12	0	1	606	434	32	9	1	238	184	32	6	2	253	253	0	10	3	346	322		
52	0	0	—	—	35	12	0	1	643	506	33	9	1	314	351	33	6	2	253	253	0	10	3	346	322		

Table 2 (cont.)

$\frac{h}{l}$	$\frac{k}{l}$	$\frac{l}{l}$	$10P_0$	$10P_2$	h	k	l	$10P_2$	$10P_0$	h	k	l	$10P_0$	$10P_2$	h	k	l	$10P_0$	$10P_2$	h	k	l	$10P_2$	$10P_0$							
2	2	5	196	140	0	6	5	384	311	5	10	5	192	231	3	3	6	334	367	3	7	6	506	477	4	5	7	362	359		
3	2	5	406	426	1	6	5	347	290	4	3	6	295	405	4	7	6	221	213	5	1	7	287	262	5	5	7	395	410		
4	2	5	406	458	2	6	5	365	345	5	3	6	172	157	5	7	6	162	109	6	1	7	143	119	6	5	7	208	109		
5	2	5	279	316	3	6	5	196	157	0	11	5	141	163	6	3	6	216	235	6	7	6	167	148	7	1	7	181	138		
6	2	5	301	334	4	6	5	150	170	2	11	5	123	142	7	3	6	152	179	7	7	6	212	214	8	1	7	224	212		
7	2	5	279	325	4	6	5	260	332	2	11	5	109	116	8	3	6	132	138	8	7	6	214	214	9	1	7	101	72		
8	2	5	352	362	6	6	5	242	294	3	11	5	—	111	9	3	6	245	263	10	1	7	—	52	9	5	7	—	195		
9	2	5	223	251	7	6	5	155	109	10	3	6	207	285	10	8	6	138	78	0	6	7	240	284	9	1	6	7	293	337	
10	2	5	100	132	8	6	5	228	212	2	0	6	625	531	1	8	6	191	131	0	2	7	—	9	1	6	7	250	247		
11	2	5	73	136	9	6	5	242	268	3	0	6	487	406	0	4	6	339	220	2	8	6	344	309	1	2	7	203	179		
0	3	5	603	434	0	7	5	489	430	4	0	6	201	159	2	4	6	894	802	4	8	6	177	178	3	2	7	405	376		
1	3	5	822	863	1	7	5	342	262	5	0	6	295	311	3	4	6	369	450	5	8	6	231	212	4	2	7	315	303		
2	3	5	484	507	2	7	5	160	258	6	0	6	747	897	4	4	6	127	105	6	8	6	162	184	5	2	7	316	256		
3	3	5	420	452	3	7	5	237	193	7	0	6	270	284	5	4	6	157	170	7	8	6	44	75	6	2	7	368	337		
4	3	5	471	579	4	7	5	160	127	8	0	6	113	107	6	4	6	207	259	7	2	7	309	303	8	6	7	224	214		
5	3	5	566	708	5	7	5	379	410	9	0	6	83	73	7	4	6	231	270	8	2	7	229	218	7	1	6	7	69	75	
6	3	5	141	101	6	7	5	182	179	10	0	6	113	95	8	4	6	138	146	9	2	7	117	116	1	7	7	138	93		
7	3	5	206	220	7	7	5	201	163	10	4	6	93	117	2	9	6	162	150	3	9	6	113	92	2	7	7	304	303		
8	3	5	214	275	8	7	5	233	239	10	4	6	93	117	4	9	6	236	262	0	3	7	554	578	3	7	7	203	175		
9	3	5	118	124	9	7	5	—	197	0	1	6	276	196	1	0	7	—	12	0	4	7	229	197	7	7	7	250	322		
10	3	5	91	86	1	1	6	305	223	2	1	6	201	150	0	5	6	713	638	5	9	6	231	268	1	3	7	362	372		
11	3	5	—	119	0	8	5	507	446	3	1	6	374	373	1	5	6	447	435	6	9	6	63	94	4	3	7	341	308		
0	4	5	347	217	2	8	5	206	186	5	1	6	383	290	3	5	6	143	101	3	9	6	113	92	3	7	7	485	493		
1	4	5	512	458	3	8	5	401	363	6	1	6	285	352	4	5	6	231	254	0	10	6	108	92	5	7	7	261	193		
2	4	5	301	349	4	8	5	274	238	7	1	6	295	337	5	6	245	332	1	10	6	88	75	3	7	7	453	477			
3	4	5	187	269	5	8	5	123	81	8	1	6	290	288	6	5	6	212	294	2	10	6	103	119	7	3	7	192	175		
4	4	5	342	453	6	8	5	201	190	9	1	6	245	302	7	5	6	177	179	3	10	6	108	126	3	7	7	133	71		
5	4	5	201	222	7	8	5	246	241	10	1	6	143	161	8	5	6	167	190	4	10	6	108	116	9	3	7	101	97		
6	4	5	233	254	8	8	5	—	95	10	2	6	88	98	9	5	6	113	142	0	1	7	229	250	4	8	7	181	151		
7	4	5	296	359	—	—	—	—	—	9	5	6	98	94	9	6	6	94	94	1	0	7	197	239	5	8	7	123	109		
8	4	5	192	244	0	2	6	609	438	1	0	7	—	—	1	0	7	—	12	0	4	7	165	137	5	8	7	197	144		
9	4	5	87	146	0	9	5	279	237	1	2	6	699	608	0	6	6	939	897	2	0	7	277	303	1	4	7	368	387		
10	4	5	187	219	1	9	5	228	161	2	2	6	438	382	1	6	6	388	352	3	0	7	—	51	2	4	7	320	299		
1	2	9	5	274	262	3	2	6	433	489	2	6	6	132	133	4	0	7	768	767	3	4	7	496	475	3	7	7	192	175	
2	3	9	5	114	117	4	2	6	626	756	5	6	6	270	235	5	0	7	840	430	4	4	7	197	166	0	9	7	149	245	
3	3	9	5	114	117	4	2	6	626	756	5	6	6	270	235	6	0	7	7171	112	5	4	7	171	127	1	9	7	91	63	
4	3	9	5	138	239	4	9	5	233	191	5	2	6	290	345	4	6	6	231	259	6	0	7	7171	112	5	4	7	171	127	
5	3	9	5	281	5	9	5	182	145	6	2	6	157	133	5	6	6	245	294	7	0	7	128	93	6	4	7	208	213		
6	3	9	5	333	316	6	9	5	136	142	7	2	6	216	247	6	6	6	157	159	8	0	7	235	229	7	4	7	123	82	
7	3	9	5	576	708	7	9	5	—	195	8	2	6	285	329	7	6	6	143	148	9	0	7	205	190	8	4	7	298	289	
8	3	9	5	201	222	9	2	6	196	207	8	6	6	162	184	10	0	7	181	211	9	4	7	229	250	5	9	7	—	197	
9	3	9	5	255	275	0	10	5	141	117	10	2	6	88	98	9	6	6	98	94	0	1	7	309	434	0	5	7	235	144	
10	3	9	5	311	410	1	10	5	187	185	1	0	7	6	132	112	1	1	7	656	954	1	5	7	255	240	1	10	7	74	140
8	5	5	114	81	2	10	5	338	327	0	3	6	270	211	0	7	6	132	119	2	1	7	528	564	2	7	5	325	325		
9	5	5	164	145	3	10	5	95	68	1	3	6	276	272	1	7	6	172	119	2	1	7	528	564	2	10	7	53	84		
10	5	5	187	231	4	10	5	146	143	2	3	6	310	265	2	7	6	378	337	3	1	7	336	320	3	5	7	287	220		

Table 3. Main interatomic distances and angles (with e.d.s.'s)

Anion MnO_4^-		Coordination around Sr		Coordination around H_2O	
$Mn(1)-O(1)$	$1.623 \pm 0.033 \text{ \AA}$	$O(1)_I-Mn(1)_I-O(1,I)$	$108.9 \pm 1.8^\circ$	$H_2O-O(2,I)_X$	$3.026 \pm 0.049 \text{ \AA}$
$Mn(1)_I-O(1,I)$	1.600 ± 0.037	$O(1,I)_{III}-Mn(1)_I-O(1,I)$	110.1 ± 1.9	$H_2O-O(2,I)_{XI}$	3.144 ± 0.065
$Mn(2)-O(2)$	1.621 ± 0.058	$O(2)_{II}-Mn(2)_{II}-O(2,I)$	111.6 ± 2.6	$H_2O-O(2,I)_{IV}-Mn(2)_{II}-O(2,I)$	107.3 ± 1.7
$Mn(2)_{II}-O(2,I)$	1.591 ± 0.029	$O(2,I)_{IV}-Mn(2)_{II}-O(2,I)$	109.2 ± 1.5	$H_2O-Mn-O_{av}$	109.2 ± 1.5
$Mn-O_{av}$	1.605 ± 0.014				
Asymmetric units		Coordination around Sr		Coordination around H_2O	
No label	x	y	z	VII	$1-z$
I	\bar{x}	$\frac{1}{2}+y$	$\frac{1}{2}-z$	VIII	$\frac{1}{2}-x$
II	$x-\frac{1}{2}$	<			

functions have been calculated with the use of phases corresponding to the various sets of vectors. The set chosen was the only one which gave reasonably good values of the electron density at the atomic peaks. The final $\rho_0(xyz)$ is drawn in Fig. 1. The structure has been refined by differential syntheses. Isotropic temperature factors were refined by Nardelli, Fava & Giraldi's method (1963), by graphical comparison of observed and calculated electron densities at the peaks. Final $R_{hkl} = 0.16$ (observed reflexions). The final atomic coordinates are quoted in Table 1; observed and calculated structure factors are compared in Table 2. The main interatomic distances are reported in Table 3.

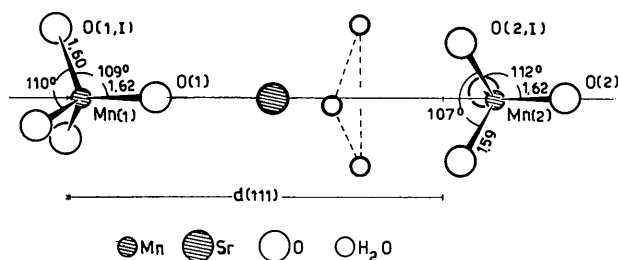


Fig. 3. Arrangement of atoms along the ternary axis.

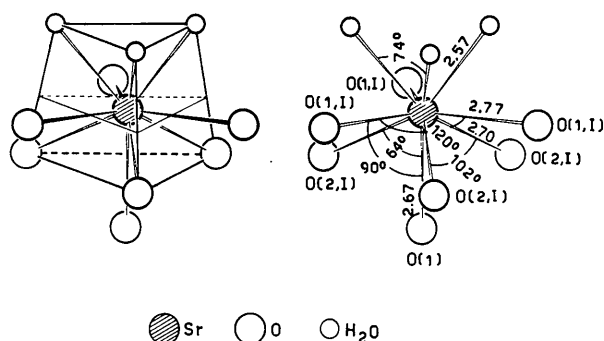


Fig. 4. Coordination around strontium.

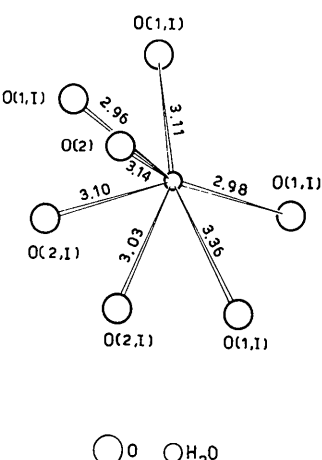


Fig. 5. Coordination around water.

Discussion of the structure

The structure (Fig. 2) is formed by tetrahedral anions MnO_4^- , cations Sr^{2+} and water molecules. The arrangement of the atoms along the ternary axis is shown in Fig. 3.

The MnO_4^- groups have nearly tetrahedral symmetry as expected and as shown by the equivalence of the distances: $\text{Mn}(1)-\text{O}(1)=1.62$, $\text{Mn}(1)-\text{O}(1,\text{I})=1.60$, $\text{Mn}(2)-\text{O}(2)=1.62$ and $\text{Mn}(2)-\text{O}(2,\text{I})=1.59 \text{ \AA}$ (mean value: $\text{Mn}-\text{O}=1.605 \pm 0.014$). These distances are comparable with that ($\text{Mn}-\text{O}=1.586 \text{ \AA}$) found in MnO_3F by Javan & Engelbrecht (1954) by microwave spectra and with that ($\text{Mn}-\text{O}=1.59 \text{ \AA}$) found by X-ray diffraction in AgMnO_4 by Sasvari (1938) and in KMnO_4 by Mooney (1931).

The Sr^{2+} cations are surrounded (Fig. 4) by three water molecules and by seven oxygen atoms belonging to MnO_4^- anions. The resulting coordination number is ten instead of nine as found in $\text{SrCl}_2 \cdot 6\text{H}_2\text{O}$ (Wells, 1962) and in $\text{Sr}(\text{VO}_4)_2 \cdot 4\text{H}_2\text{O}$ (Sedlacek & Dornberger-Schiff, 1965). The coordination polyhedron is substantially the same as for ninefold coordination, except one more coordinating atom along a line passing through the centre of one basal face. The distances between strontium and surrounding oxygen atoms are $\text{Sr}-\text{O}(1,\text{I}) = 2.77 \text{ \AA}$, $\text{Sr}-\text{O}(2,\text{I}) = 2.70 \text{ \AA}$, $\text{Sr}-\text{OH}_2 = 2.57 \text{ \AA}$, $\text{Sr}-\text{O}(1) = 2.67 \text{ \AA}$ with $\text{Sr}-\text{O}_{\text{av}} = 2.68 \text{ \AA}$, equivalent to $\text{Sr}-\text{O}_{\text{av}} = 2.67 \text{ \AA}$ (ranging from 2.54 to 2.74 \AA) found by Sedlacek & Dornberger-Schiff (1965) in $\text{Sr}(\text{VO}_4)_2 \cdot 4\text{H}_2\text{O}$ for ninefold coordination. For eightfold coordination, the distance $\text{Sr}-\text{O}_{\text{av}} = 2.62 \text{ \AA}$ is reported in *International Tables for X-ray Crystallography* (1962).

Each water molecule is surrounded by seven oxygen atoms (Fig. 5) at distances a little longer than that (2.75 Å) expected for hydrogen bonds (Wallwork, 1962) between OH_n and O^- .

It is a pleasure to thank Prof. L. Cavalca for facilities on the Olivetti Elea 6001/S computer of the Centro Calcolo, University of Parma. The Consiglio Nazionale Ricerche, Rome, is kindly thanked for the financial aid which has made the present research possible.

References

- BOND, W. L. (1959). *Acta Cryst.* **12**, 375.
 FERRARI, A. & BIAGINI CINGI, M. (1966). *Gazz. chim. ital.*
96, 427.
International Tables for X-ray Crystallography (1962). Vol.
 III. Birmingham: Kynoch Press.
 JAVAN, R. & ENGELBRECHT, A. (1954). *Phys. Rev.* **96**, 649.
 MOONEY, R. C. L. (1931). *Phys. Rev.* **37**, 1306.
 NARDELLI, M., FAVA, G. & GIRALDI, G. (1963). *Acta Cryst.*
16, 343.
 SASVARI, K. (1938). *Z. Kristallogr.* **99**, 9.
 SEDLACEK, P. & DORNBURGER-SCHIFF, K. (1965). *Acta Cryst.*
18, 407.
 WALLWORK, S. C. (1962). *Acta Cryst.* **15**, 758.
 WELLS, A. F. (1962). *Structural Inorganic Chemistry*, 3rd ed.
 p. 591. Oxford: Clarendon Press.